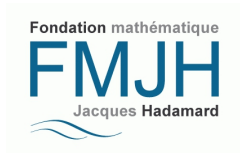


Étude mathématique de quelques problèmes de transmission avec coefficients changeant de signe.

Séance n°3

A.-S. Bonnet-Ben Dhia, L. Chesnel\*, P. Ciarlet

\*[Lucas.Chesnel@cmap.polytechnique.fr](mailto:Lucas.Chesnel@cmap.polytechnique.fr)



- ① Séance 1 : contexte physique
  
- ② Séance 2 : la méthode de la T-coercivité
  - Principe
  - Géométries élémentaires
  - T-coercivité et problèmes bien posés
  
- ③ Séance 3 : géométrie générale, étude dans l'intervalle
  - Géométrie générale
  - Étude dans l'intervalle
  
- ④ Au programme la semaine prochaine

# Contexte physique

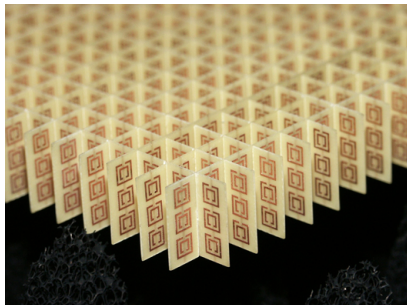
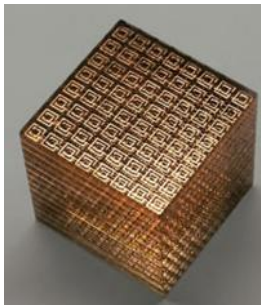
---

- ▶ Modélisation de phénomènes **électromagnétiques** en présence de **matériaux négatifs** tels que  $\varepsilon < 0$  et/ou  $\mu < 0$  pour certaines fréquences.
- ▶ Deux grandes familles de matériaux négatifs : **métaux**,

# Contexte physique

---

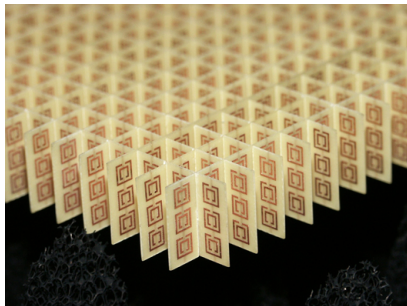
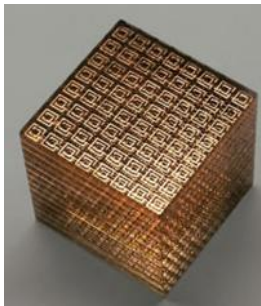
- ▶ Modélisation de phénomènes **électromagnétiques** en présence de **matériaux négatifs** tels que  $\varepsilon < 0$  et/ou  $\mu < 0$  pour certaines fréquences.
- ▶ Deux grandes familles de matériaux négatifs : **métaux**, **métamatériaux**.



ZOOM SUR UN MÉTAMATÉRIAU (NASA)

# Contexte physique

- ▶ Modélisation de phénomènes **électromagnétiques** en présence de **matériaux négatifs** tels que  $\varepsilon < 0$  et/ou  $\mu < 0$  pour certaines fréquences.
- ▶ Deux grandes familles de matériaux négatifs : **métaux**, **métamatériaux**.



ZOOM SUR UN MÉTAMATÉRIAU (NASA)

*“Metamaterials are **artificial** materials engineered to have properties that may not be found in nature. [...] Metamaterials gain their properties not from their composition, but from their exactly-designed structures.”*

## Un exemple dans la nature

---

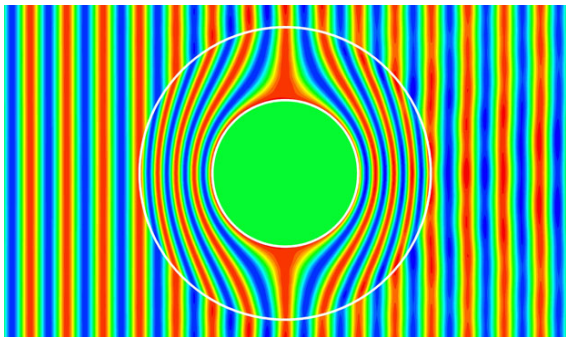


- Pour certains papillons, couleurs dues à des **arrangements géométriques** particuliers des écailles sur les ailes, non à des pigments chimiques.

# Quelques applications des métamatériaux 1/2

👉 Objectif : réaliser des structures pour **contrôler la lumière**.

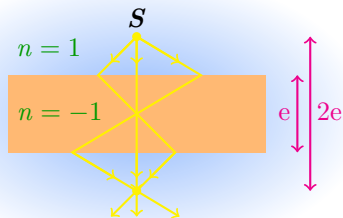
▶ Conception de **capes d'invisibilité**.



Remarque : *a priori*, on pourrait utiliser la même idée pour détourner les **tsunamis** et les **ondes sismiques**.

# Quelques applications des métamatériaux 2/2

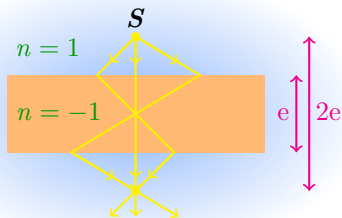
- Réalisation de matériaux à **indice de réfraction négatif** ( $n < 0$ ).



⇒ La **réfraction négative** à l'interface métamatériau/diélectrique pourrait permettre de concevoir des **lentilles parfaites**, des **pièges à photons**...

# Quelques applications des métamatériaux 2/2

- Réalisation de matériaux à **indice de réfraction négatif** ( $n < 0$ ).



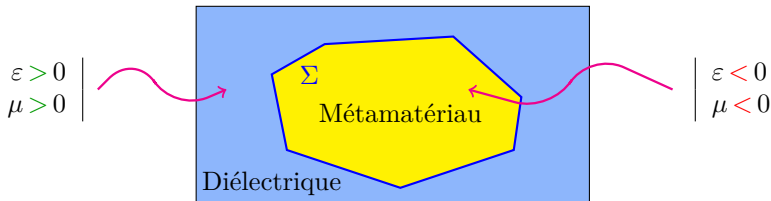
⇒ La **réfraction négative** à l'interface métamatériau/diélectrique pourrait permettre de concevoir des **lentilles parfaites**, des **pièges à photons**...

👉 Des applications potentielles assez **extraordinaires** mais ...

# Difficulté

☛ ... des problèmes épineux de **modélisation** et de **simulations numériques**.

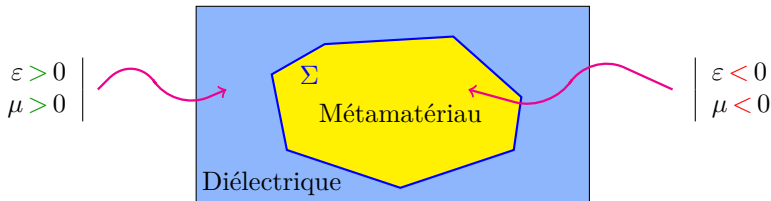
- ▶ Dans les applications, présence d'**interfaces** matériau nég./matériau pos..



# Difficulté

☛ ... des problèmes épineux de **modélisation** et de **simulations numériques**.

- ▶ Dans les applications, présence d'**interfaces** matériau nég./matériau pos..

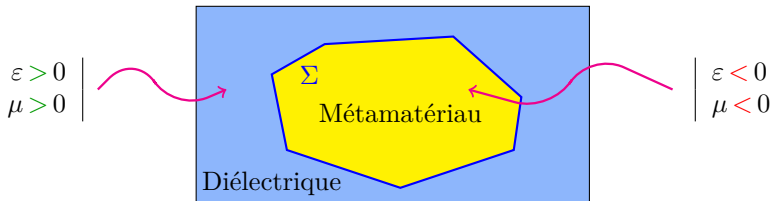


- ▶ Problèmes de transmission **originaux** (**littérature quasi-vierge**) en raison du **changement de signe** des coefficients  $\varepsilon$  et  $\mu$  au niveau de l'interface  $\Sigma$ .

# Difficulté

☛ ... des problèmes épineux de **modélisation** et de **simulations numériques**.

- ▶ Dans les applications, présence d'**interfaces** matériau nég./matériau pos..



- ▶ Problèmes de transmission **originaux** (**littérature quasi-vierge**) en raison du **changement de signe** des coefficients  $\varepsilon$  et  $\mu$  au niveau de l'interface  $\Sigma$ .
- ▶ De façon générale, on s'intéresse aux questions suivantes :



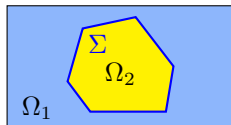
- Ces problèmes de transmission avec changement de signe sont-ils **bien posés** ?
- S'ils ne le sont pas, pourquoi (retour à la **physique**) ?
- **Méthodes numériques** pour approcher les solutions ?

# Un problème modèle

---

- Considérons le problème modèle suivant :

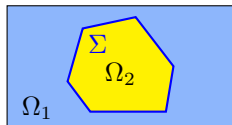
$$(\mathcal{P}) \left| \begin{array}{l} \text{Trouver } u \in H_0^1(\Omega) \text{ tel que :} \\ -\operatorname{div}(\sigma \nabla u) = f \text{ dans } \Omega. \end{array} \right.$$



# Un problème modèle

- Considérons le problème modèle suivant :

$$(\mathcal{P}) \left| \begin{array}{l} \text{Trouver } u \in H_0^1(\Omega) \text{ tel que :} \\ -\operatorname{div}(\sigma \nabla u) = f \text{ dans } \Omega. \end{array} \right.$$



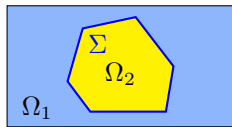
$$\left| \begin{array}{l} \sigma|_{\Omega_1} = \sigma_1 > 0 \\ \sigma|_{\Omega_2} = \sigma_2 < 0 \\ \text{(constant)} \end{array} \right.$$

# Un problème modèle

- Considérons le problème modèle suivant :

$$(\mathcal{P}) \left| \begin{array}{l} \text{Trouver } u \in H_0^1(\Omega) \text{ tel que :} \\ -\operatorname{div}(\sigma \nabla u) = f \text{ dans } \Omega. \end{array} \right.$$

- $H_0^1(\Omega) = \{v \in L^2(\Omega) \mid \nabla v \in L^2(\Omega); v|_{\partial\Omega} = 0\}$
- $f$  est un terme source dans  $H^{-1}(\Omega)$



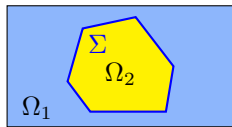
$$\left| \begin{array}{l} \sigma|_{\Omega_1} = \sigma_1 > 0 \\ \sigma|_{\Omega_2} = \sigma_2 < 0 \\ \text{(constant)} \end{array} \right.$$

# Un problème modèle

- Considérons le problème modèle suivant :

$$(\mathcal{P}) \left| \begin{array}{l} \text{Trouver } u \in H_0^1(\Omega) \text{ tel que :} \\ -\operatorname{div}(\sigma \nabla u) = f \text{ dans } \Omega. \end{array} \right.$$

- $H_0^1(\Omega) = \{v \in L^2(\Omega) \mid \nabla v \in L^2(\Omega); v|_{\partial\Omega} = 0\}$
- $f$  est un terme source dans  $H^{-1}(\Omega)$



$$\left| \begin{array}{l} \sigma|_{\Omega_1} = \sigma_1 > 0 \\ \sigma|_{\Omega_2} = \sigma_2 < 0 \\ \text{(constant)} \end{array} \right.$$

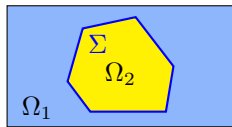
- Il est important de savoir montrer que  $(\mathcal{P})$  possède une **unique solution** dépendant **continûment** de la donnée, solution que l'on pourra ensuite chercher à **approcher numériquement**.

# Un problème modèle

- Considérons le problème modèle suivant :

$$(\mathcal{P}) \quad \left| \begin{array}{l} \text{Trouver } u \in H_0^1(\Omega) \text{ tel que :} \\ -\operatorname{div}(\sigma \nabla u) = f \text{ dans } \Omega. \end{array} \right.$$

- $H_0^1(\Omega) = \{v \in L^2(\Omega) \mid \nabla v \in L^2(\Omega); v|_{\partial\Omega} = 0\}$
- $f$  est un terme source dans  $H^{-1}(\Omega)$



$$\left| \begin{array}{l} \sigma|_{\Omega_1} = \sigma_1 > 0 \\ \sigma|_{\Omega_2} = \sigma_2 < 0 \\ \text{(constant)} \end{array} \right.$$

- Il est important de savoir montrer que  $(\mathcal{P})$  possède une **unique solution** dépendant **continûment** de la donnée, solution que l'on pourra ensuite chercher à **approcher numériquement**.

**DÉFINITION.** Nous dirons que le problème  $(\mathcal{P})$  est **bien posé** si l'opérateur  $\operatorname{div}(\sigma \nabla \cdot)$  est un **isomorphisme** de  $H_0^1(\Omega)$  dans  $H^{-1}(\Omega)$ .

# Comment étudier le problème $(\mathcal{P})$ ?

---

- 1 On réécrit  $(\mathcal{P})$  sous forme variationnelle.

$$(\mathcal{P}) \Leftrightarrow (\mathcal{P}_V) \left| \begin{array}{l} \text{Trouver } u \in H_0^1(\Omega) \text{ tel que :} \\ a(u, v) = \ell(v), \forall v \in H_0^1(\Omega), \end{array} \right.$$

$$\text{avec } a(u, v) = \int_{\Omega} \sigma \nabla u \cdot \nabla v \quad \text{et} \quad \ell(v) = \langle f, v \rangle_{\Omega}.$$

# Comment étudier le problème $(\mathcal{P})$ ?

---

- 1 On réécrit  $(\mathcal{P})$  sous forme variationnelle.

$$(\mathcal{P}) \Leftrightarrow (\mathcal{P}_V) \left| \begin{array}{l} \text{Trouver } u \in H_0^1(\Omega) \text{ tel que :} \\ a(u, v) = \ell(v), \forall v \in H_0^1(\Omega), \end{array} \right.$$

$$\text{avec } a(u, v) = \int_{\Omega} \sigma \nabla u \cdot \nabla v \quad \text{et} \quad \ell(v) = \langle f, v \rangle_{\Omega}.$$

- 2 Dans le cas classique où  $\sigma \geq C > 0$  sur  $\Omega$ , on trouve

$$a(u, u) = \int_{\Omega} \sigma |\nabla u|^2$$

# Comment étudier le problème $(\mathcal{P})$ ?

---

- 1 On réécrit  $(\mathcal{P})$  sous forme variationnelle.

$$(\mathcal{P}) \Leftrightarrow (\mathcal{P}_V) \left| \begin{array}{l} \text{Trouver } u \in H_0^1(\Omega) \text{ tel que :} \\ a(u, v) = \ell(v), \forall v \in H_0^1(\Omega), \end{array} \right.$$

$$\text{avec } a(u, v) = \int_{\Omega} \sigma \nabla u \cdot \nabla v \quad \text{et} \quad \ell(v) = \langle f, v \rangle_{\Omega}.$$

- 2 Dans le cas classique où  $\sigma \geq C > 0$  sur  $\Omega$ , on trouve

$$a(u, u) = \int_{\Omega} \sigma |\nabla u|^2 \geq \min(\sigma) \|u\|_{H_0^1(\Omega)}^2,$$

# Comment étudier le problème $(\mathcal{P})$ ?

---

- 1 On réécrit  $(\mathcal{P})$  sous forme variationnelle.

$$(\mathcal{P}) \Leftrightarrow (\mathcal{P}_V) \left| \begin{array}{l} \text{Trouver } u \in H_0^1(\Omega) \text{ tel que :} \\ a(u, v) = \ell(v), \forall v \in H_0^1(\Omega), \end{array} \right.$$

$$\text{avec } a(u, v) = \int_{\Omega} \sigma \nabla u \cdot \nabla v \quad \text{et} \quad \ell(v) = \langle f, v \rangle_{\Omega}.$$

- 2 Dans le cas classique où  $\sigma \geq C > 0$  sur  $\Omega$ , on trouve

$$a(u, u) = \int_{\Omega} \sigma |\nabla u|^2 \geq \min(\sigma) \|u\|_{H_0^1(\Omega)}^2,$$

ce qui prouve que  $a(\cdot, \cdot)$  est **coercive** sur  $H_0^1(\Omega)$ .

# Comment étudier le problème $(\mathcal{P})$ ?

---

- 1 On réécrit  $(\mathcal{P})$  sous forme variationnelle.

$$(\mathcal{P}) \Leftrightarrow (\mathcal{P}_V) \left| \begin{array}{l} \text{Trouver } u \in H_0^1(\Omega) \text{ tel que :} \\ a(u, v) = \ell(v), \forall v \in H_0^1(\Omega), \end{array} \right.$$

$$\text{avec } a(u, v) = \int_{\Omega} \sigma \nabla u \cdot \nabla v \quad \text{et} \quad \ell(v) = \langle f, v \rangle_{\Omega}.$$

- 2 Dans le cas classique où  $\sigma \geq C > 0$  sur  $\Omega$ , on trouve

$$a(u, u) = \int_{\Omega} \sigma |\nabla u|^2 \geq \min(\sigma) \|u\|_{H_0^1(\Omega)}^2,$$

ce qui prouve que  $a(\cdot, \cdot)$  est **coercive** sur  $H_0^1(\Omega)$ .

- 3 On déduit du théorème de Lax-Milgram que  $(\mathcal{P})$  est bien posé.

## Et lorsque $\sigma$ change de signe sur $\Omega$ ?

---

► Dans le cas où  $\sigma$  change de signe, on peut construire des fonctions non nulles  $u \in H_0^1(\Omega)$  telles que

$$a(u, u) = \int_{\Omega} \sigma |\nabla u|^2 = 0.$$

## Et lorsque $\sigma$ change de signe sur $\Omega$ ?

---

► Dans le cas où  $\sigma$  change de signe, on peut construire des fonctions non nulles  $u \in H_0^1(\Omega)$  telles que

$$a(u, u) = \int_{\Omega} \sigma |\nabla u|^2 = 0.$$

Ceci prouve que  $a(\cdot, \cdot)$  n'est pas coercive.

## Et lorsque $\sigma$ change de signe sur $\Omega$ ?

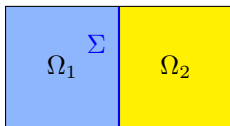
---

- ▶ Dans le cas où  $\sigma$  change de signe, on peut construire des fonctions non nulles  $u \in H_0^1(\Omega)$  telles que

$$a(u, u) = \int_{\Omega} \sigma |\nabla u|^2 = 0.$$

Ceci prouve que  $a(\cdot, \cdot)$  n'est pas coercive.

- ▶ Pour un domaine symétrique par rapport à l'interface  $\Sigma$ , avec  $\sigma_2 = -\sigma_1$ ,



vous avez montré que  $(\mathcal{P})$  possède un noyau de dimension infinie.

## Et lorsque $\sigma$ change de signe sur $\Omega$ ?

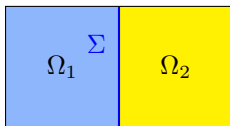
---

- Dans le cas où  $\sigma$  change de signe, on peut construire des fonctions non nulles  $u \in H_0^1(\Omega)$  telles que

$$a(u, u) = \int_{\Omega} \sigma |\nabla u|^2 = 0.$$

Ceci prouve que  $a(\cdot, \cdot)$  n'est pas coercive.

- Pour un domaine symétrique par rapport à l'interface  $\Sigma$ , avec  $\sigma_2 = -\sigma_1$ ,



vous avez montré que  $(\mathcal{P})$  possède un noyau de dimension infinie.



Comment étudier  $(\mathcal{P})$  lorsque  $\sigma$  change de signe ?

- ① Séance 1 : contexte physique
- ② Séance 2 : la méthode de la T-coercivité
  - Principe
  - Géométries élémentaires
  - T-coercivité et problèmes bien posés
- ③ Séance 3 : géométrie générale, étude dans l'intervalle
  - Géométrie générale
  - Étude dans l'intervalle
- ④ Au programme la semaine prochaine

- ① Séance 1 : contexte physique
- ② Séance 2 : la méthode de la T-coercivité
  - Principe
  - Géométries élémentaires
  - T-coercivité et problèmes bien posés
- ③ Séance 3 : géométrie générale, étude dans l'intervalle
  - Géométrie générale
  - Étude dans l'intervalle
- ④ Au programme la semaine prochaine

Soit  $T$  un **isomorphisme** de  $H_0^1(\Omega)$ .

$$(\mathcal{P}) \Leftrightarrow (\mathcal{P}_V) \left| \begin{array}{l} \text{Trouver } u \in H_0^1(\Omega) \text{ tel que :} \\ a(u, v) = \ell(v), \forall v \in H_0^1(\Omega). \end{array} \right.$$

Soit  $\mathbf{T}$  un **isomorphisme** de  $H_0^1(\Omega)$ .

$$(\mathcal{P}) \Leftrightarrow (\mathcal{P}_V) \Leftrightarrow (\mathcal{P}_V^{\mathbf{T}}) \left| \begin{array}{l} \text{Trouver } u \in H_0^1(\Omega) \text{ tel que :} \\ a(u, \mathbf{T}v) = \ell(\mathbf{T}v), \forall v \in H_0^1(\Omega). \end{array} \right.$$

Soit  $\mathbf{T}$  un **isomorphisme** de  $H_0^1(\Omega)$ .

$$(\mathcal{P}) \Leftrightarrow (\mathcal{P}_V) \Leftrightarrow (\mathcal{P}_V^{\mathbf{T}}) \left| \begin{array}{l} \text{Trouver } u \in H_0^1(\Omega) \text{ tel que :} \\ a(u, \mathbf{T}v) = \ell(\mathbf{T}v), \forall v \in H_0^1(\Omega). \end{array} \right.$$

Objectif : Trouver  $\mathbf{T}$  tel que  $a$  soit  $\mathbf{T}$ -coercive :  $\int_{\Omega} \sigma \nabla u \cdot \nabla(\mathbf{T}u) \geq C \|u\|_{H_0^1(\Omega)}^2$ .

Dans ce cas, Lax-Milgram  $\Rightarrow (\mathcal{P}_V^{\mathbf{T}})$  (et donc  $(\mathcal{P}_V)$ ) bien posé.

Soit  $\mathbf{T}$  un **isomorphisme** de  $H_0^1(\Omega)$ .

$$(\mathcal{P}) \Leftrightarrow (\mathcal{P}_V) \Leftrightarrow (\mathcal{P}_V^{\mathbf{T}}) \left| \begin{array}{l} \text{Trouver } u \in H_0^1(\Omega) \text{ tel que :} \\ a(u, \mathbf{T}v) = \ell(\mathbf{T}v), \forall v \in H_0^1(\Omega). \end{array} \right.$$

Objectif : Trouver  $\mathbf{T}$  tel que  $a$  soit  $\mathbf{T}$ -coercive :  $\int_{\Omega} \sigma \nabla u \cdot \nabla(\mathbf{T}u) \geq C \|u\|_{H_0^1(\Omega)}^2$ .

Dans ce cas, Lax-Milgram  $\Rightarrow (\mathcal{P}_V^{\mathbf{T}})$  (et donc  $(\mathcal{P}_V)$ ) bien posé.

---

1 Définissons  $\mathbf{T}_1 u = \begin{cases} u & \text{dans } \Omega_1 \\ -u + \dots & \text{dans } \Omega_2 \end{cases}$

Soit  $\mathbf{T}$  un **isomorphisme** de  $H_0^1(\Omega)$ .

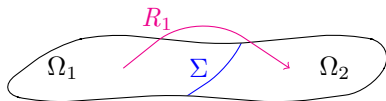
$$(\mathcal{P}) \Leftrightarrow (\mathcal{P}_V) \Leftrightarrow (\mathcal{P}_V^{\mathbf{T}}) \left| \begin{array}{l} \text{Trouver } u \in H_0^1(\Omega) \text{ tel que :} \\ a(u, \mathbf{T}v) = \ell(\mathbf{T}v), \forall v \in H_0^1(\Omega). \end{array} \right.$$

Objectif : Trouver  $\mathbf{T}$  tel que  $a$  soit  $\mathbf{T}$ -coercive :  $\int_{\Omega} \sigma \nabla u \cdot \nabla(\mathbf{T}u) \geq C \|u\|_{H_0^1(\Omega)}^2$ .

Dans ce cas, Lax-Milgram  $\Rightarrow (\mathcal{P}_V^{\mathbf{T}})$  (et donc  $(\mathcal{P}_V)$ ) bien posé.

1 Définissons  $\mathbf{T}_1 u = \begin{cases} u & \text{dans } \Omega_1 \\ -u + 2R_1(u|_{\Omega_1}) & \text{dans } \Omega_2 \end{cases}$ , avec

$R_1$  opérateur de **transfert/prolongement**



Soit  $\mathbf{T}$  un **isomorphisme** de  $H_0^1(\Omega)$ .

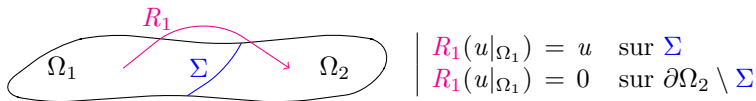
$$(\mathcal{P}) \Leftrightarrow (\mathcal{P}_V) \Leftrightarrow (\mathcal{P}_V^{\mathbf{T}}) \quad \left| \quad \begin{array}{l} \text{Trouver } u \in H_0^1(\Omega) \text{ tel que :} \\ a(u, \mathbf{T}v) = \ell(\mathbf{T}v), \forall v \in H_0^1(\Omega). \end{array} \right.$$

Objectif : Trouver  $\mathbf{T}$  tel que  $a$  soit **T-coercive** :  $\int_{\Omega} \sigma \nabla u \cdot \nabla(\mathbf{T}u) \geq C \|u\|_{H_0^1(\Omega)}^2$ .

Dans ce cas, Lax-Milgram  $\Rightarrow (\mathcal{P}_V^{\mathbf{T}})$  (et donc  $(\mathcal{P}_V)$ ) bien posé.

1 Définissons  $\mathbf{T}_1 u = \begin{cases} u & \text{dans } \Omega_1 \\ -u + 2R_1(u|_{\Omega_1}) & \text{dans } \Omega_2 \end{cases}$ , avec

$R_1$  opérateur de **transfert/prolongement** continu de  $\Omega_1$  dans  $\Omega_2$



Soit  $\mathbf{T}$  un **isomorphisme** de  $H_0^1(\Omega)$ .

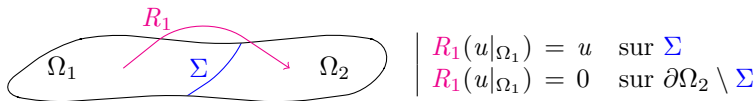
$$(\mathcal{P}) \Leftrightarrow (\mathcal{P}_V) \Leftrightarrow (\mathcal{P}_V^{\mathbf{T}}) \quad \left| \quad \begin{array}{l} \text{Trouver } u \in H_0^1(\Omega) \text{ tel que :} \\ a(u, \mathbf{T}v) = \ell(\mathbf{T}v), \forall v \in H_0^1(\Omega). \end{array} \right.$$

Objectif : Trouver  $\mathbf{T}$  tel que  $a$  soit  $\mathbf{T}$ -coercive :  $\int_{\Omega} \sigma \nabla u \cdot \nabla(\mathbf{T}u) \geq C \|u\|_{H_0^1(\Omega)}^2$ .

Dans ce cas, Lax-Milgram  $\Rightarrow (\mathcal{P}_V^{\mathbf{T}})$  (et donc  $(\mathcal{P}_V)$ ) bien posé.

1 Définissons  $\mathbf{T}_1 u = \begin{cases} u & \text{dans } \Omega_1 \\ -u + 2R_1(u|_{\Omega_1}) & \text{dans } \Omega_2 \end{cases}$ , avec

$R_1$  opérateur de **transfert/prolongement** continu de  $\Omega_1$  dans  $\Omega_2$



2  $\mathbf{T}_1 \circ \mathbf{T}_1 = \text{Id}$  ce qui assure que  $\mathbf{T}_1$  est un **isomorphisme** de  $H_0^1(\Omega)$

- ③ On trouve  $a(u, \mathbb{T}_1 u) = \int_{\Omega} |\sigma| |\nabla u|^2 - 2 \int_{\Omega_2} \sigma_2 \nabla u \cdot \nabla (R_1(u|_{\Omega_1}))$ .

③ On trouve  $a(u, \mathbb{T}_1 u) = \int_{\Omega} |\sigma| |\nabla u|^2 - 2 \int_{\Omega_2} \sigma_2 \nabla u \cdot \nabla (R_1(u|_{\Omega_1}))$ .

Inégalité de Young :  $\forall \eta > 0$ , on a  $|2 x y| \leq \eta x^2 + \eta^{-1} y^2$

$$\Rightarrow \left| 2 \int_{\Omega_2} \sigma_2 \nabla u \cdot \nabla (R_1(u|_{\Omega_1})) \right| \leq \eta |\sigma_2| \int_{\Omega_2} |\nabla u|^2 + \eta^{-1} \|R_1\|^2 |\sigma_2| \int_{\Omega_1} |\nabla u|^2$$

③ On trouve  $a(u, \mathbf{T}_1 u) = \int_{\Omega} |\sigma| |\nabla u|^2 - 2 \int_{\Omega_2} \sigma_2 \nabla u \cdot \nabla (R_1(u|_{\Omega_1}))$ .

Inégalité de Young :  $\forall \eta > 0$ , on a  $|2 x y| \leq \eta x^2 + \eta^{-1} y^2$

$$\Rightarrow \left| 2 \int_{\Omega_2} \sigma_2 \nabla u \cdot \nabla (R_1(u|_{\Omega_1})) \right| \leq \eta |\sigma_2| \int_{\Omega_2} |\nabla u|^2 + \eta^{-1} \|R_1\|^2 |\sigma_2| \int_{\Omega_1} |\nabla u|^2$$

$$\Rightarrow |a(u, \mathbf{T}_1 u)| \geq |\sigma_2| (1 - \eta) \int_{\Omega_2} |\nabla u|^2 + (\sigma_1 - \eta^{-1} \|R_1\|^2 |\sigma_2|) \int_{\Omega_1} |\nabla u|^2$$

③ On trouve  $a(u, \mathbf{T}_1 u) = \int_{\Omega} |\sigma| |\nabla u|^2 - 2 \int_{\Omega_2} \sigma_2 \nabla u \cdot \nabla (R_1(u|_{\Omega_1}))$ .

Inégalité de Young :  $\forall \eta > 0$ , on a  $|2 x y| \leq \eta x^2 + \eta^{-1} y^2$

$$\Rightarrow \left| 2 \int_{\Omega_2} \sigma_2 \nabla u \cdot \nabla (R_1(u|_{\Omega_1})) \right| \leq \eta |\sigma_2| \int_{\Omega_2} |\nabla u|^2 + \eta^{-1} \|R_1\|^2 |\sigma_2| \int_{\Omega_1} |\nabla u|^2$$

$$\Rightarrow |a(u, \mathbf{T}_1 u)| \geq |\sigma_2| (1 - \eta) \int_{\Omega_2} |\nabla u|^2 + (\sigma_1 - \eta^{-1} \|R_1\|^2 |\sigma_2|) \int_{\Omega_1} |\nabla u|^2$$

Moralité :  $a$  est T-coercive quand  $\sigma_1 > \|R_1\|^2 |\sigma_2|$

③ On trouve  $a(u, \mathbf{T}_1 u) = \int_{\Omega} |\sigma| |\nabla u|^2 - 2 \int_{\Omega_2} \sigma_2 \nabla u \cdot \nabla (R_1(u|_{\Omega_1}))$ .

Inégalité de Young  $\Rightarrow$   $a$  est **T-coercive** quand  $\sigma_1 > \|R_1\|^2 |\sigma_2|$ .

③ On trouve  $a(u, \mathbf{T}_1 u) = \int_{\Omega} |\sigma| |\nabla u|^2 - 2 \int_{\Omega_2} \sigma_2 \nabla u \cdot \nabla (R_1(u|_{\Omega_1}))$ .

Inégalité de Young  $\Rightarrow$   $a$  est **T-coercive** quand  $\sigma_1 > \|R_1\|^2 |\sigma_2|$ .

④ En travaillant avec  $\mathbf{T}_2 u = \begin{cases} u - 2R_2(u|_{\Omega_2}) & \text{dans } \Omega_1 \\ -u & \text{dans } \Omega_2 \end{cases}$ , où  $R_2 : \Omega_2 \rightarrow \Omega_1$ ,

on prouve que  $a$  est **T-coercive** quand  $|\sigma_2| > \|R_2\|^2 \sigma_1$ .

③ On trouve  $a(u, \mathbf{T}_1 u) = \int_{\Omega} |\sigma| |\nabla u|^2 - 2 \int_{\Omega_2} \sigma_2 \nabla u \cdot \nabla (R_1(u|_{\Omega_1}))$ .

Inégalité de Young  $\Rightarrow$   $a$  est **T-coercive** quand  $\sigma_1 > \|R_1\|^2 |\sigma_2|$ .

④ En travaillant avec  $\mathbf{T}_2 u = \begin{cases} u - 2R_2(u|_{\Omega_2}) & \text{dans } \Omega_1 \\ -u & \text{dans } \Omega_2 \end{cases}$ , où  $R_2 : \Omega_2 \rightarrow \Omega_1$ ,

on prouve que  $a$  est **T-coercive** quand  $|\sigma_2| > \|R_2\|^2 \sigma_1$ .

⑤ Conclusion :

**THÉORÈME.** Si le **contraste**  $\kappa_{\sigma} = \sigma_2/\sigma_1 \notin [-\|R_2\|^2; -1/\|R_1\|^2]$  alors l'opérateur  $\operatorname{div}(\sigma \nabla \cdot)$  est un **isomorphisme** de  $H_0^1(\Omega)$  dans  $H^{-1}(\Omega)$ .

③ On trouve  $a(u, \mathbf{T}_1 u) = \int_{\Omega} |\sigma| |\nabla u|^2 - 2 \int_{\Omega_2} \sigma_2 \nabla u \cdot \nabla (R_1(u|_{\Omega_1}))$ .

Inégalité de Young  $\Rightarrow$   $a$  est **T-coercive** quand  $\sigma_1 > \|R_1\|^2 |\sigma_2|$ .

④ En travaillant avec  $\mathbf{T}_2 u = \begin{cases} u - 2R_2(u|_{\Omega_2}) & \text{dans } \Omega_1 \\ -u & \text{dans } \Omega_2 \end{cases}$ , où  $R_2 : \Omega_2 \rightarrow \Omega_1$ ,

on prouve que  $a$  est **T-coercive** quand  $|\sigma_2| > \|R_2\|^2 \sigma_1$ .

⑤ Conclusion :

L'intervalle dépend des normes  
des opérateurs de transfert

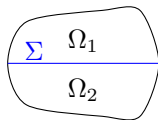
THÉORÈME. Si le **contraste**  $\kappa_{\sigma} = \sigma_2/\sigma_1 \notin [-\|R_2\|^2; -1/\|R_1\|^2]$  alors l'opérateur  $\operatorname{div}(\sigma \nabla \cdot)$  est un **isomorphisme** de  $H_0^1(\Omega)$  dans  $H^{-1}(\Omega)$ .

- ① Séance 1 : contexte physique
  
- ② Séance 2 : la méthode de la T-coercivité
  - Principe
  - Géométries élémentaires
  - T-coercivité et problèmes bien posés
  
- ③ Séance 3 : géométrie générale, étude dans l'intervalle
  - Géométrie générale
  - Étude dans l'intervalle
  
- ④ Au programme la semaine prochaine

# Choix de $R_1, R_2$ ?

---

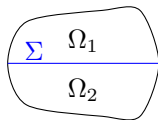
- Un cas simple : le domaine symétrique



# Choix de $R_1, R_2$ ?

---

- Un cas simple : le domaine symétrique

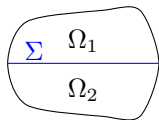


$R_1 = R_2 = \mathcal{S}_\Sigma$   
On vérifie  $\|R_1\| = \|R_2\| = 1$   
( $\mathcal{P}$ ) bien posé  $\Leftrightarrow \kappa_\sigma \neq -1$

# Choix de $R_1, R_2$ ?

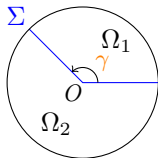
---

- Un cas simple : le domaine symétrique



$R_1 = R_2 = \mathcal{S}_\Sigma$   
On vérifie  $\|R_1\| = \|R_2\| = 1$   
( $\mathcal{P}$ ) bien posé  $\Leftrightarrow \kappa_\sigma \neq -1$

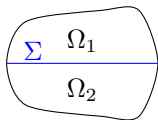
- Interface avec un coin 2D



# Choix de $R_1, R_2$ ?

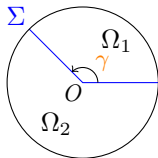
---

- Un cas simple : le domaine symétrique



$R_1 = R_2 = \mathcal{S}_\Sigma$   
On vérifie  $\|R_1\| = \|R_2\| = 1$   
( $\mathcal{P}$ ) bien posé  $\Leftrightarrow \kappa_\sigma \neq -1$

- Interface avec un coin 2D

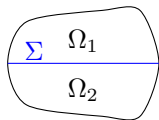


Action de  $R_1$  :

# Choix de $R_1, R_2$ ?

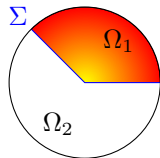
---

- Un cas simple : le domaine symétrique



$R_1 = R_2 = \mathcal{S}_\Sigma$   
On vérifie  $\|R_1\| = \|R_2\| = 1$   
( $\mathcal{P}$ ) bien posé  $\Leftrightarrow \kappa_\sigma \neq -1$

- Interface avec un coin 2D

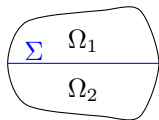


Action de  $R_1$  :

# Choix de $R_1, R_2$ ?

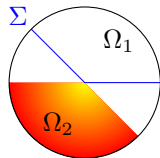
---

- Un cas simple : le domaine symétrique



$R_1 = R_2 = \mathcal{S}_\Sigma$   
On vérifie  $\|R_1\| = \|R_2\| = 1$   
( $\mathcal{P}$ ) bien posé  $\Leftrightarrow \kappa_\sigma \neq -1$

- Interface avec un coin 2D

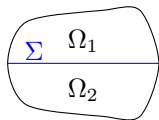


Action de  $R_1$  : symétrie

# Choix de $R_1, R_2$ ?

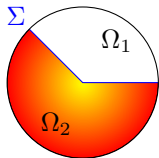
---

- ▶ Un cas simple : le domaine symétrique



$R_1 = R_2 = S_\Sigma$   
On vérifie  $\|R_1\| = \|R_2\| = 1$   
( $\mathcal{P}$ ) bien posé  $\Leftrightarrow \kappa_\sigma \neq -1$

- ▶ Interface avec un coin 2D

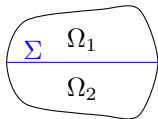


Action de  $R_1$  : symétrie + dilatation en  $\theta$

# Choix de $R_1, R_2$ ?

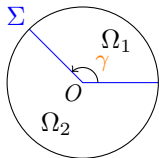
---

- Un cas simple : le domaine symétrique



$R_1 = R_2 = \mathcal{S}_\Sigma$   
On vérifie  $\|R_1\| = \|R_2\| = 1$   
( $\mathcal{P}$ ) bien posé  $\Leftrightarrow \kappa_\sigma \neq -1$

- Interface avec un coin 2D



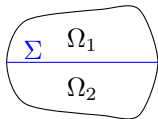
Action de  $R_1$  : symétrie + dilatation en  $\theta$

$$\|R_1\|^2 = \mathcal{R}_\gamma := (2\pi - \gamma)/\gamma$$

# Choix de $R_1, R_2$ ?

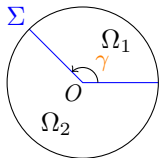
---

- Un cas simple : le domaine symétrique



$R_1 = R_2 = \mathcal{S}_\Sigma$   
On vérifie  $\|R_1\| = \|R_2\| = 1$   
( $\mathcal{P}$ ) bien posé  $\Leftrightarrow \kappa_\sigma \neq -1$

- Interface avec un coin 2D

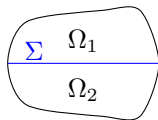


Action de  $R_1$  : symétrie + dilatation en  $\theta$   
Action de  $R_2$  : symétrie + contraction en  $\theta$   
 $\|R_1\|^2 = \|R_2\|^2 = \mathcal{R}_\gamma := (2\pi - \gamma)/\gamma$

# Choix de $R_1, R_2$ ?

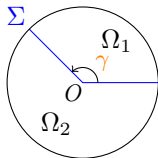
---

- Un cas simple : le domaine symétrique



$R_1 = R_2 = \mathcal{S}_\Sigma$   
On vérifie  $\|R_1\| = \|R_2\| = 1$   
( $\mathcal{P}$ ) bien posé  $\Leftrightarrow \kappa_\sigma \neq -1$

- Interface avec un coin 2D



Action de  $R_1$  : symétrie + dilatation en  $\theta$   
Action de  $R_2$  : symétrie + contraction en  $\theta$   
 $\|R_1\|^2 = \|R_2\|^2 = \mathcal{R}_\gamma := (2\pi - \gamma)/\gamma$   
( $\mathcal{P}$ ) bien posé  $\Leftrightarrow \kappa_\sigma \notin [-\mathcal{R}_\gamma; -1/\mathcal{R}_\gamma]$

- ① Séance 1 : contexte physique
  
- ② Séance 2 : la méthode de la T-coercivité
  - Principe
  - Géométries élémentaires
  - T-coercivité et problèmes bien posés
  
- ③ Séance 3 : géométrie générale, étude dans l'intervalle
  - Géométrie générale
  - Étude dans l'intervalle
  
- ④ Au programme la semaine prochaine

# T-coercivité et problèmes bien posés

---

► De façon générale, considérons  $X$  un **espace de Hilbert**,  $a$  une **forme sesquilinéaire continue** sur  $X \times X$  et  $\ell \in X'$ . On s'intéresse au problème

$$(\mathcal{P}_V) \quad \left| \begin{array}{l} \text{Trouver } u \in X \text{ tel que :} \\ a(u, v) = \ell(v), \quad \forall v \in X. \end{array} \right.$$

# T-coercivité et problèmes bien posés

---

- ▶ De façon générale, considérons  $X$  un **espace de Hilbert**,  $a$  une **forme sesquilinéaire continue** sur  $X \times X$  et  $\ell \in X'$ . On s'intéresse au problème

$$(\mathcal{P}_V) \quad \left| \begin{array}{l} \text{Trouver } u \in X \text{ tel que :} \\ a(u, v) = \ell(v), \quad \forall v \in X. \end{array} \right.$$

- ▶ Avec Riesz, introduisons l'opérateur  $A : X \rightarrow X$  tel que

$$(Au, v)_X = a(u, v), \quad \forall u, v \in X.$$

# T-coercivité et problèmes bien posés

---

- De façon générale, considérons  $X$  un **espace de Hilbert**,  $a$  une **forme sesquilinéaire continue** sur  $X \times X$  et  $\ell \in X'$ . On s'intéresse au problème

$$(\mathcal{P}_V) \quad \left| \begin{array}{l} \text{Trouver } u \in X \text{ tel que :} \\ a(u, v) = \ell(v), \quad \forall v \in X. \end{array} \right.$$

- Avec Riesz, introduisons l'opérateur  $A : X \rightarrow X$  tel que

$$(Au, v)_X = a(u, v), \quad \forall u, v \in X.$$

- ① S'il existe  $T$  un isomorphisme de  $X$  tel que  $a(\cdot, T\cdot)$  soit **coercive** alors  $A$  est un **isomorphisme**.

# T-coercivité et problèmes bien posés

---

► De façon générale, considérons  $X$  un **espace de Hilbert**,  $a$  une **forme sesquilinéaire continue** sur  $X \times X$  et  $\ell \in X'$ . On s'intéresse au problème

$$(\mathcal{P}_V) \quad \left| \begin{array}{l} \text{Trouver } u \in X \text{ tel que :} \\ a(u, v) = \ell(v), \quad \forall v \in X. \end{array} \right.$$

► Avec Riesz, introduisons l'opérateur  $A : X \rightarrow X$  tel que

$$(Au, v)_X = a(u, v), \quad \forall u, v \in X.$$

① S'il existe  $T$  un isomorphisme de  $X$  tel que  $a(\cdot, T\cdot)$  soit **coercive** alors  $A$  est un **isomorphisme**.

② Réciproquement, si  $A$  est un **isomorphisme** alors  $a(\cdot, A\cdot)$  est coercive :

$$\forall u \in X, \quad |a(u, Au)| =$$

# T-coercivité et problèmes bien posés

---

► De façon générale, considérons  $X$  un **espace de Hilbert**,  $a$  une **forme sesquilinéaire continue** sur  $X \times X$  et  $\ell \in X'$ . On s'intéresse au problème

$$(\mathcal{P}_V) \quad \left| \begin{array}{l} \text{Trouver } u \in X \text{ tel que :} \\ a(u, v) = \ell(v), \quad \forall v \in X. \end{array} \right.$$

► Avec Riesz, introduisons l'opérateur  $A : X \rightarrow X$  tel que

$$(Au, v)_X = a(u, v), \quad \forall u, v \in X.$$

① S'il existe  $T$  un isomorphisme de  $X$  tel que  $a(\cdot, T\cdot)$  soit **coercive** alors  $A$  est un **isomorphisme**.

② Réciproquement, si  $A$  est un **isomorphisme** alors  $a(\cdot, A\cdot)$  est coercive :

$$\forall u \in X, \quad |a(u, Au)| = \|Au\|_X^2$$

# T-coercivité et problèmes bien posés

---

► De façon générale, considérons  $X$  un **espace de Hilbert**,  $a$  une **forme sesquilinéaire continue** sur  $X \times X$  et  $\ell \in X'$ . On s'intéresse au problème

$$(\mathcal{P}_V) \quad \left| \begin{array}{l} \text{Trouver } u \in X \text{ tel que :} \\ a(u, v) = \ell(v), \quad \forall v \in X. \end{array} \right.$$

► Avec Riesz, introduisons l'opérateur  $A : X \rightarrow X$  tel que

$$(Au, v)_X = a(u, v), \quad \forall u, v \in X.$$

① S'il existe  $T$  un isomorphisme de  $X$  tel que  $a(\cdot, T\cdot)$  soit **coercive** alors  $A$  est un **isomorphisme**.

② Réciproquement, si  $A$  est un **isomorphisme** alors  $a(\cdot, A\cdot)$  est coercive :

$$\forall u \in X, \quad |a(u, Au)| = \|Au\|_X^2 \geq \|A^{-1}\|^2 \|u\|_X^2.$$

# T-coercivité et problèmes bien posés

- ▶ De façon générale, considérons  $X$  un **espace de Hilbert**,  $a$  une **forme sesquilinéaire continue** sur  $X \times X$  et  $\ell \in X'$ . On s'intéresse au problème

$$(\mathcal{P}_V) \quad \left| \begin{array}{l} \text{Trouver } u \in X \text{ tel que :} \\ a(u, v) = \ell(v), \quad \forall v \in X. \end{array} \right.$$

- ▶ Avec Riesz, introduisons l'opérateur  $A : X \rightarrow X$  tel que

$$(Au, v)_X = a(u, v), \quad \forall u, v \in X.$$

**PROPOSITION.**  $(\mathcal{P}_V)$  bien posé ( $A$  isomorphisme)  $\Leftrightarrow$  il existe  $\mathbf{T}$  un isomorphisme de  $X$  tel que  $a(\cdot, \mathbf{T}\cdot)$  soit coercive.

# T-coercivité et problèmes bien posés

- ▶ De façon générale, considérons  $X$  un **espace de Hilbert**,  $a$  une **forme sesquilinéaire continue** sur  $X \times X$  et  $\ell \in X'$ . On s'intéresse au problème

$$(\mathcal{P}_V) \quad \left| \begin{array}{l} \text{Trouver } u \in X \text{ tel que :} \\ a(u, v) = \ell(v), \quad \forall v \in X. \end{array} \right.$$

- ▶ Avec Riesz, introduisons l'opérateur  $A : X \rightarrow X$  tel que

$$(Au, v)_X = a(u, v), \quad \forall u, v \in X.$$

**PROPOSITION.**  $(\mathcal{P}_V)$  bien posé ( $A$  isomorphisme)  $\Leftrightarrow$  il existe  $T$  un isomorphisme de  $X$  tel que  $a(\cdot, T\cdot)$  soit coercive.

- ▶ Supposons  $a$  **symétrique** ( $a(u, v) = a(v, u)$ ,  $\forall u, v \in X$ ) et  $a(\cdot, T\cdot)$  coercive pour  $T : X \rightarrow X$  **linéaire continu**. Alors :

# T-coercivité et problèmes bien posés

- De façon générale, considérons  $X$  un **espace de Hilbert**,  $a$  une **forme sesquilinéaire continue** sur  $X \times X$  et  $\ell \in X'$ . On s'intéresse au problème

$$(\mathcal{P}_V) \quad \left| \begin{array}{l} \text{Trouver } u \in X \text{ tel que :} \\ a(u, v) = \ell(v), \quad \forall v \in X. \end{array} \right.$$

- Avec Riesz, introduisons l'opérateur  $A : X \rightarrow X$  tel que

$$(Au, v)_X = a(u, v), \quad \forall u, v \in X.$$

**PROPOSITION.**  $(\mathcal{P}_V)$  bien posé ( $A$  isomorphisme)  $\Leftrightarrow$  il existe  $T$  un isomorphisme de  $X$  tel que  $a(\cdot, T\cdot)$  soit coercive.

- Supposons  $a$  **symétrique** ( $a(u, v) = a(v, u)$ ,  $\forall u, v \in X$ ) et  $a(\cdot, T\cdot)$  coercive pour  $T : X \rightarrow X$  **linéaire continu**. Alors :

$$\star \quad Au = 0 \quad \Rightarrow \quad 0 = a(u, Tu) \geq C \|u\|_X^2 \quad \Rightarrow \quad u = 0 \quad \Rightarrow \quad A \text{ injectif.}$$

# T-coercivité et problèmes bien posés

- De façon générale, considérons  $X$  un **espace de Hilbert**,  $a$  une **forme sesquilinéaire continue** sur  $X \times X$  et  $\ell \in X'$ . On s'intéresse au problème

$$(\mathcal{P}_V) \quad \left\{ \begin{array}{l} \text{Trouver } u \in X \text{ tel que :} \\ a(u, v) = \ell(v), \quad \forall v \in X. \end{array} \right.$$

- Avec Riesz, introduisons l'opérateur  $A : X \rightarrow X$  tel que

$$(Au, v)_X = a(u, v), \quad \forall u, v \in X.$$

**PROPOSITION.**  $(\mathcal{P}_V)$  bien posé ( $A$  isomorphisme)  $\Leftrightarrow$  il existe  $T$  un isomorphisme de  $X$  tel que  $a(\cdot, T\cdot)$  soit coercive.

- Supposons  $a$  **symétrique** ( $a(u, v) = a(v, u)$ ,  $\forall u, v \in X$ ) et  $a(\cdot, T\cdot)$  coercive pour  $T : X \rightarrow X$  **linéaire continu**. Alors :

- ★  $Au = 0 \Rightarrow 0 = a(u, Tu) \geq C \|u\|_X^2 \Rightarrow u = 0 \Rightarrow A$  **injectif**.
- ★ Soit  $u$  l'unique fonction vérifiant  $a(Tu, v) = \ell(v)$ ,  $\forall v \in X$ .

# T-coercivité et problèmes bien posés

- De façon générale, considérons  $X$  un **espace de Hilbert**,  $a$  une **forme sesquilinéaire continue** sur  $X \times X$  et  $\ell \in X'$ . On s'intéresse au problème

$$(\mathcal{P}_V) \quad \left\{ \begin{array}{l} \text{Trouver } u \in X \text{ tel que :} \\ a(u, v) = \ell(v), \quad \forall v \in X. \end{array} \right.$$

- Avec Riesz, introduisons l'opérateur  $A : X \rightarrow X$  tel que

$$(Au, v)_X = a(u, v), \quad \forall u, v \in X.$$

PROPOSITION.  $(\mathcal{P}_V)$  bien posé ( $A$  isomorphisme)  $\Leftrightarrow$  il existe  $T$  un isomorphisme de  $X$  tel que  $a(\cdot, T\cdot)$  soit coercive.

- Supposons  $a$  **symétrique** ( $a(u, v) = a(v, u)$ ,  $\forall u, v \in X$ ) et  $a(\cdot, T\cdot)$  coercive pour  $T : X \rightarrow X$  **linéaire continu**. Alors :

- ★  $Au = 0 \Rightarrow 0 = a(u, Tu) \geq C \|u\|_X^2 \Rightarrow u = 0 \Rightarrow A$  **injectif**.
- ★ Soit  $u$  l'unique fonction vérifiant  $a(Tu, v) = \ell(v)$ ,  $\forall v \in X$ .  
On note que  $Tu$  vérifie  $(\mathcal{P}_V) \Rightarrow A$  **surjectif**.

# T-coercivité et problèmes bien posés

- ▶ De façon générale, considérons  $X$  un **espace de Hilbert**,  $a$  une **forme sesquilinéaire continue** sur  $X \times X$  et  $\ell \in X'$ . On s'intéresse au problème

$$(\mathcal{P}_V) \quad \left| \begin{array}{l} \text{Trouver } u \in X \text{ tel que :} \\ a(u, v) = \ell(v), \quad \forall v \in X. \end{array} \right.$$

- ▶ Avec Riesz, introduisons l'opérateur  $A : X \rightarrow X$  tel que

$$(Au, v)_X = a(u, v), \quad \forall u, v \in X.$$

PROPOSITION.  $(\mathcal{P}_V)$  bien posé ( $A$  isomorphisme)  $\Leftrightarrow$  il existe  $T$  un isomorphisme de  $X$  tel que  $a(\cdot, T\cdot)$  soit coercive.

- ▶ Si de plus  $a$  est **symétrique** ( $a(u, v) = a(v, u)$ ,  $\forall u, v \in X$ ) alors :

PROPOSITION.  $(\mathcal{P}_V)$  bien posé ( $A$  isomorphisme)  $\Leftrightarrow$  il existe  $T : X \rightarrow X$  linéaire continu tel que  $a(\cdot, T\cdot)$  soit coercive.

- 1 Séance 1 : contexte physique
- 2 Séance 2 : la méthode de la T-coercivité
  - Principe
  - Géométries élémentaires
  - T-coercivité et problèmes bien posés
- 3 Séance 3 : géométrie générale, étude dans l'intervalle
  - Géométrie générale
  - Étude dans l'intervalle
- 4 Au programme la semaine prochaine

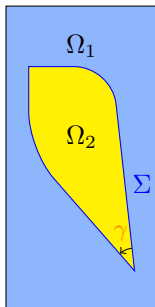
- ① Séance 1 : contexte physique
- ② Séance 2 : la méthode de la T-coercivité
  - Principe
  - Géométries élémentaires
  - T-coercivité et problèmes bien posés
- ③ Séance 3 : géométrie générale, étude dans l'intervalle
  - Géométrie générale
  - Étude dans l'intervalle
- ④ Au programme la semaine prochaine

# Géométrie générale

Idée : raisonner par **localisation**

- Avec Riesz, introduisons l'opérateur  $A : H_0^1(\Omega) \rightarrow H_0^1(\Omega)$  tel que

$$(Au, v)_{H_0^1(\Omega)} = \int_{\Omega} \sigma \nabla u \cdot \nabla v, \quad \forall u, v \in H_0^1(\Omega).$$

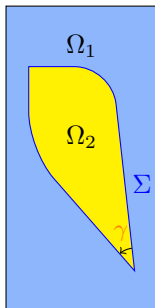


# Géométrie générale

Idée : raisonner par **localisation**

► Avec Riesz, introduisons l'opérateur  $A : H_0^1(\Omega) \rightarrow H_0^1(\Omega)$  tel que

$$(Au, v)_{H_0^1(\Omega)} = \int_{\Omega} \sigma \nabla u \cdot \nabla v, \quad \forall u, v \in H_0^1(\Omega).$$



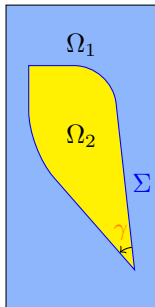
① Partition de l'unité.

# Géométrie générale

Idée : raisonner par **localisation**

► Avec Riesz, introduisons l'opérateur  $A : H_0^1(\Omega) \rightarrow H_0^1(\Omega)$  tel que

$$(Au, v)_{H_0^1(\Omega)} = \int_{\Omega} \sigma \nabla u \cdot \nabla v, \quad \forall u, v \in H_0^1(\Omega).$$



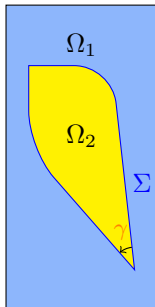
- 1 Partition de l'unité.
- 2 On construit un isomorphisme  $T$  en utilisant les **opérateurs locaux**.

# Géométrie générale

Idée : raisonner par **localisation**

► Avec Riesz, introduisons l'opérateur  $A : H_0^1(\Omega) \rightarrow H_0^1(\Omega)$  tel que

$$(Au, v)_{H_0^1(\Omega)} = \int_{\Omega} \sigma \nabla u \cdot \nabla v, \quad \forall u, v \in H_0^1(\Omega).$$



- 1 Partition de l'unité.
- 2 On construit un isomorphisme  $\mathbf{T}$  en utilisant les **opérateurs locaux**.
- 3 On prouve l'identité

$$A \circ \mathbf{T} = I + K$$

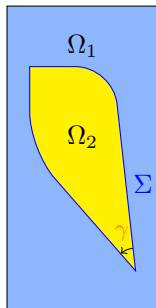
avec  $I$  isomorphisme,  $K$  compact, lorsque le contraste et la géométrie sont tels qu'on peut **inverser localement**.

# Géométrie générale

Idée : raisonner par **localisation**

► Avec Riesz, introduisons l'opérateur  $A : H_0^1(\Omega) \rightarrow H_0^1(\Omega)$  tel que

$$(Au, v)_{H_0^1(\Omega)} = \int_{\Omega} \sigma \nabla u \cdot \nabla v, \quad \forall u, v \in H_0^1(\Omega).$$



- 1 Partition de l'unité.
- 2 On construit un isomorphisme  $\mathbf{T}$  en utilisant les **opérateurs locaux**.
- 3 On prouve l'identité

$$A \circ \mathbf{T} = I + K$$

avec  $I$  isomorphisme,  $K$  compact, lorsque le contraste et la géométrie sont tels qu'on peut **inverser localement**.

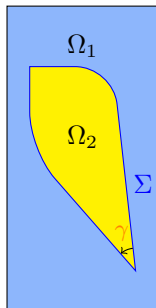
**PROPOSITION.**  $(\mathcal{P})$  bien posé au sens de **Fredholm** pour une **interface polygonale curviligne** lorsque  $\kappa_{\sigma} \notin [-\mathcal{R}_{\gamma}; -1/\mathcal{R}_{\gamma}]$  où  $\gamma$  est le plus petit angle.

# Géométrie générale

Idée : raisonner par **localisation**

► Avec Riesz, introduisons l'opérateur  $A : H_0^1(\Omega) \rightarrow H_0^1(\Omega)$  tel que

$$(Au, v)_{H_0^1(\Omega)} = \int_{\Omega} \sigma \nabla u \cdot \nabla v, \quad \forall u, v \in H_0^1(\Omega).$$



- 1 Partition de l'unité.
- 2 On construit un isomorphisme  $\mathbf{T}$  en utilisant les **opérateurs locaux**.
- 3 On prouve l'identité

$$A \circ \mathbf{T} = I + K$$

avec  $I$  isomorphisme,  $K$  compact, lorsque le contraste et la géométrie sont tels qu'on peut **inverser localement**.

**PROPOSITION.**  $(\mathcal{P})$  bien posé au sens de **Fredholm** pour une **interface polygonale curviligne** lorsque  $\kappa_{\sigma} \notin [-R_{\gamma}; -1/R_{\gamma}]$  où  $\gamma$  est le plus petit angle.

$\Rightarrow$  Si  $\Sigma$  est **régulière**,  $(\mathcal{P})$  bien posé au sens de Fredholm lorsque  $\kappa_{\sigma} \neq -1$ .

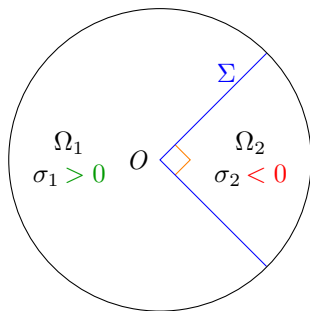
- ① Séance 1 : contexte physique
  
- ② Séance 2 : la méthode de la T-coercivité
  - Principe
  - Géométries élémentaires
  - T-coercivité et problèmes bien posés
  
- ③ Séance 3 : géométrie générale, étude dans l'intervalle
  - Géométrie générale
  - Étude dans l'intervalle
  
- ④ Au programme la semaine prochaine

# Problématique

---

$$(\mathcal{P}) \quad \left| \begin{array}{l} \text{Trouver } u \in H_0^1(\Omega) \text{ tel que :} \\ -\operatorname{div}(\sigma \nabla u) = f \quad \text{in } \Omega. \end{array} \right.$$

- Pour simplifier la présentation, travaillons sur un cas particulier.

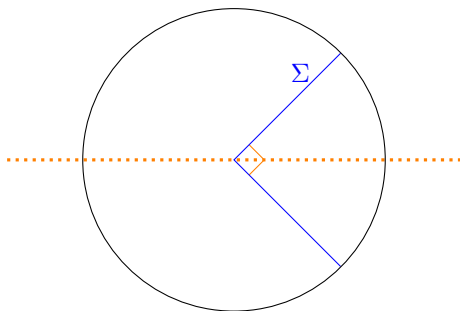


# Problématique

---

$$(\mathcal{P}) \quad \left| \begin{array}{l} \text{Trouver } u \in H_0^1(\Omega) \text{ tel que :} \\ -\operatorname{div}(\sigma \nabla u) = f \quad \text{in } \Omega. \end{array} \right.$$

- Pour simplifier la présentation, travaillons sur un cas particulier.

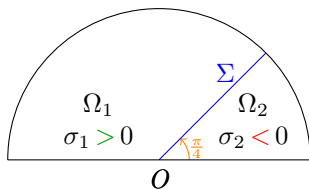


# Problématique

---

$$(\mathcal{P}) \quad \left| \begin{array}{l} \text{Trouver } u \in H_0^1(\Omega) \text{ tel que :} \\ -\operatorname{div}(\sigma \nabla u) = f \quad \text{in } \Omega. \end{array} \right.$$

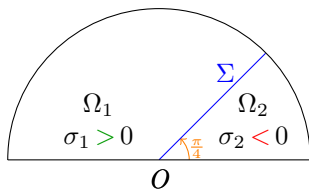
- Pour simplifier la présentation, travaillons sur un cas particulier.



# Problématique

$$(\mathcal{P}) \quad \left| \begin{array}{l} \text{Trouver } u \in H_0^1(\Omega) \text{ tel que :} \\ -\operatorname{div}(\sigma \nabla u) = f \quad \text{in } \Omega. \end{array} \right.$$

- Pour simplifier la présentation, travaillons sur un cas particulier.



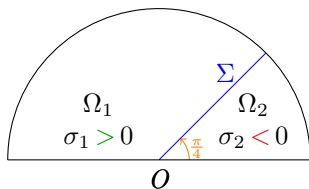
- Avec la **méthode variationnelle** de la **T-coercivité**, on prouve la

**PROPOSITION.** Le problème  $(\mathcal{P})$  est bien posé dès lors que le **contraste**  $\kappa_\sigma = \sigma_2/\sigma_1$  vérifie  $\kappa_\sigma \notin I_c = [-1; -1/3]$ .

# Problématique

$$(\mathcal{P}) \quad \left| \begin{array}{l} \text{Trouver } u \in H_0^1(\Omega) \text{ tel que :} \\ -\operatorname{div}(\sigma \nabla u) = f \quad \text{in } \Omega. \end{array} \right.$$

- Pour simplifier la présentation, travaillons sur un cas particulier.



- Avec la **méthode variationnelle** de la **T-coercivité**, on prouve la

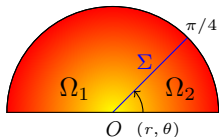
**PROPOSITION.** Le problème  $(\mathcal{P})$  est bien posé dès lors que le **contraste**  $\kappa_\sigma = \sigma_2/\sigma_1$  vérifie  $\kappa_\sigma \notin I_c = [-1; -1/3]$ .

Que se passe-t-il lorsque  $\kappa_\sigma \in (-1; -1/3]$  ?

# Analogie avec un problème de guide d'ondes

---

- Secteur borné  $\Omega$

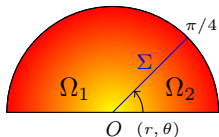


- Équation :

$$\underbrace{-\operatorname{div}(\sigma \nabla u)}_{-r^{-2}(\sigma(r\partial_r)^2 + \partial_\theta \sigma \partial_\theta)u} = f$$

# Analogie avec un problème de guide d'ondes

- Secteur borné  $\Omega$



- Équation :

$$\underbrace{-\operatorname{div}(\sigma \nabla u)}_{-r^{-2}(\sigma(r\partial_r)^2 + \partial_\theta \sigma \partial_\theta)u} = f$$

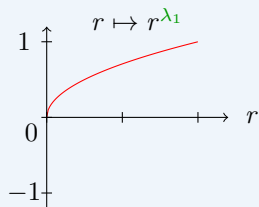
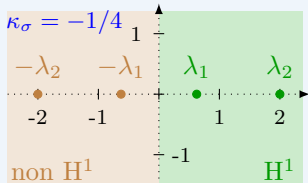
- **Singularités** dans le secteur

$$s(r, \theta) = r^\lambda \varphi(\theta)$$

# Analogie avec un problème de guide d'ondes

On calcule les singularités  $s(r, \theta) = r^\lambda \varphi(\theta)$ . On observe deux cas :

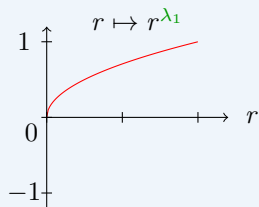
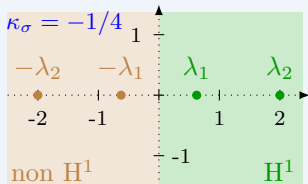
- ▶ En dehors de l'intervalle critique



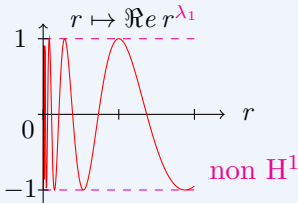
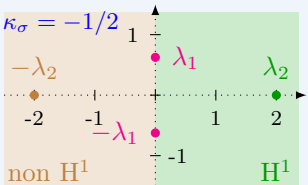
# Analogie avec un problème de guide d'ondes

On calcule les singularités  $s(r, \theta) = r^\lambda \varphi(\theta)$ . On observe deux cas :

► En dehors de l'intervalle critique



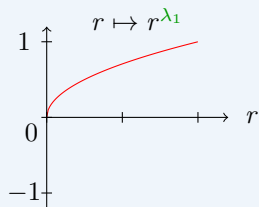
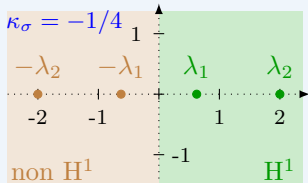
► Dans l'intervalle critique



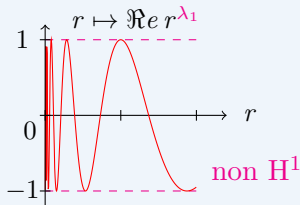
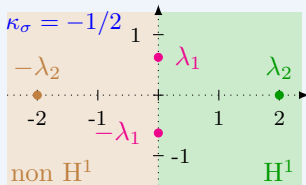
# Analogie avec un problème de guide d'ondes

On calcule les singularités  $s(r, \theta) = r^\lambda \varphi(\theta)$ . On observe deux cas :

► En dehors de l'intervalle critique



► Dans l'intervalle critique



Comment tenir compte des singularités propagatives dans l'intervalle ?

# Dans l'intervalle critique : message 1

---

Pour un contraste  $\kappa_\sigma$  dans l'intervalle critique, il existe des singularités de la forme  $s(r, \theta) = r^{i \pm \eta} \varphi(\theta)$  avec  $\eta \in \mathbb{R} \setminus \{0\}$ .

- En utilisant ces singularités, on met à défaut l'estimation *a priori*

$$\|u\|_{H_0^1(\Omega)} \leq C (\|Au\|_{H_0^1(\Omega)} + \|a\|_{L^2(\Omega)}) \quad \forall u \in H_0^1(\Omega).$$

# Dans l'intervalle critique : message 1

---

Pour un contraste  $\kappa_\sigma$  dans l'intervalle critique, il existe des singularités de la forme  $s(r, \theta) = r^{i \pm \eta} \varphi(\theta)$  avec  $\eta \in \mathbb{R} \setminus \{0\}$ .

- ▶ En utilisant ces singularités, on met à défaut l'estimation *a priori*

$$\|u\|_{H_0^1(\Omega)} \leq C (\|Au\|_{H_0^1(\Omega)} + \|u\|_{L^2(\Omega)}) \quad \forall u \in H_0^1(\Omega).$$

- ▶ Ceci permet de prouver qu'on ne peut pas avoir  $A = I + K$  où  $I$  est un isomorphisme de  $H_0^1(\Omega)$  et  $K$  un opérateur compact de  $H_0^1(\Omega)$ .

# Dans l'intervalle critique : message 1

Pour un contraste  $\kappa_\sigma$  dans l'intervalle critique, il existe des **singularités** de la forme  $s(r, \theta) = r^{i \pm \eta} \varphi(\theta)$  avec  $\eta \in \mathbb{R} \setminus \{0\}$ .

- ▶ En utilisant ces singularités, on met à défaut l'estimation *a priori*

$$\|u\|_{H_0^1(\Omega)} \leq C (\|Au\|_{H_0^1(\Omega)} + \|u\|_{L^2(\Omega)}) \quad \forall u \in H_0^1(\Omega).$$

- ▶ Ceci permet de prouver qu'**on ne peut pas avoir**  $A = I + K$  où  $I$  est un isomorphisme de  $H_0^1(\Omega)$  et  $K$  un opérateur compact de  $H_0^1(\Omega)$ .



**PROPOSITION.** Pour  $\kappa_\sigma \in (-1; -1/3)$ , le problème  $(\mathcal{P})$  **n'est pas bien posé au sens de Fredholm** dans  $H_0^1(\Omega)$ .

# Dans l'intervalle critique : message 1

Pour un contraste  $\kappa_\sigma$  dans l'intervalle critique, il existe des **singularités** de la forme  $s(r, \theta) = r^{i \pm \eta} \varphi(\theta)$  avec  $\eta \in \mathbb{R} \setminus \{0\}$ .

- ▶ En utilisant ces singularités, on met à défaut l'estimation *a priori*

$$\|u\|_{H_0^1(\Omega)} \leq C (\|Au\|_{H_0^1(\Omega)} + \|u\|_{L^2(\Omega)}) \quad \forall u \in H_0^1(\Omega).$$

- ▶ Ceci permet de prouver qu'**on ne peut pas avoir**  $A = I + K$  où  $I$  est un isomorphisme de  $H_0^1(\Omega)$  et  $K$  un opérateur compact de  $H_0^1(\Omega)$ .



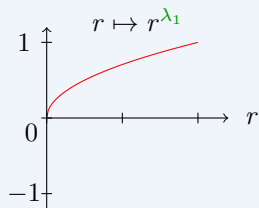
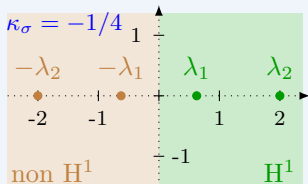
**PROPOSITION.** Pour  $\kappa_\sigma \in (-1; -1/3)$ , le problème  $(\mathcal{P})$  **n'est pas bien posé au sens de Fredholm** dans  $H_0^1(\Omega)$ .

Voyons comment **modifier le cadre fonctionnel** pour retrouver un problème bien posé ...

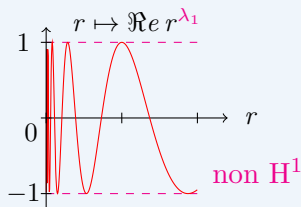
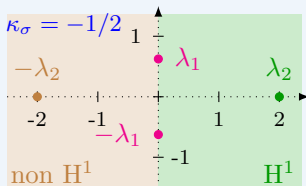
# Analogie avec un problème de guide d'ondes

On calcule les singularités  $s(r, \theta) = r^\lambda \varphi(\theta)$ . On observe deux cas :

► En dehors de l'intervalle critique



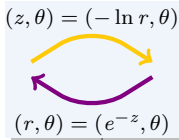
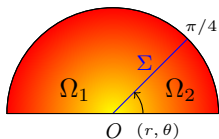
► Dans l'intervalle critique



Comment tenir compte des singularités propagatives dans l'intervalle ?

# Analogie avec un problème de guide d'ondes

- Secteur borné  $\Omega$



- Équation :

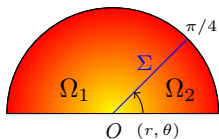
$$\underbrace{-\operatorname{div}(\sigma \nabla u)}_{-r^{-2}(\sigma(r\partial_r)^2 + \partial_\theta \sigma \partial_\theta)u} = f$$

- **Singularités** dans le secteur

$$s(r, \theta) = r^\lambda \varphi(\theta)$$

# Analogie avec un problème de guide d'ondes

- Secteur borné  $\Omega$



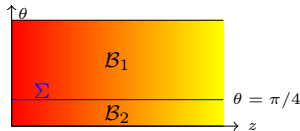
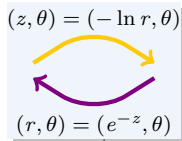
- Équation :

$$\underbrace{-\operatorname{div}(\sigma \nabla u)}_{-r^{-2}(\sigma(r\partial_r)^2 + \partial_\theta \sigma \partial_\theta)u} = f$$

- Singularités** dans le secteur

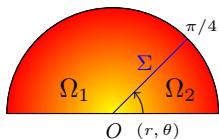
$$s(r, \theta) = r^\lambda \varphi(\theta)$$

- Demi bande  $\mathcal{B}$



# Analogie avec un problème de guide d'ondes

- Secteur borné  $\Omega$



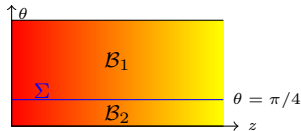
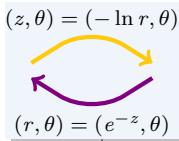
- Équation :

$$\underbrace{-\operatorname{div}(\sigma \nabla u)}_{-r^{-2}(\sigma(r\partial_r)^2 + \partial_\theta \sigma \partial_\theta)u} = f$$

- Singularités** dans le secteur

$$s(r, \theta) = r^\lambda \varphi(\theta)$$

- Demi bande  $\mathcal{B}$

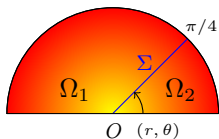


- Équation :

$$\underbrace{-\operatorname{div}(\sigma \nabla u)}_{-(\sigma \partial_z^2 + \partial_\theta \sigma \partial_\theta)u} = e^{-2z} f$$

# Analogie avec un problème de guide d'ondes

- Secteur borné  $\Omega$



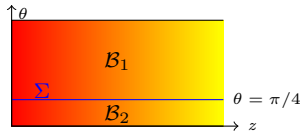
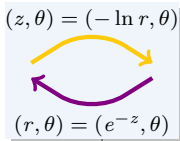
- Équation :

$$\underbrace{-\operatorname{div}(\sigma \nabla u)}_{-r^{-2}(\sigma(r\partial_r)^2 + \partial_\theta \sigma \partial_\theta)u} = f$$

- Singularités** dans le secteur

$$s(r, \theta) = r^\lambda \varphi(\theta)$$

- Demi bande  $\mathcal{B}$



- Équation :

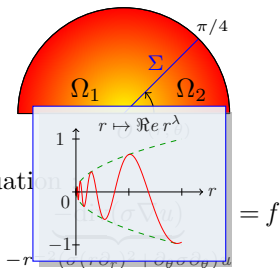
$$\underbrace{-\operatorname{div}(\sigma \nabla u)}_{-(\sigma \partial_z^2 + \partial_\theta \sigma \partial_\theta)u} = e^{-2z} f$$

- Modes** dans la bande

$$m(z, \theta) = e^{-\lambda z} \varphi(\theta)$$

# Analogie avec un problème de guide d'ondes

- Secteur borné  $\Omega$



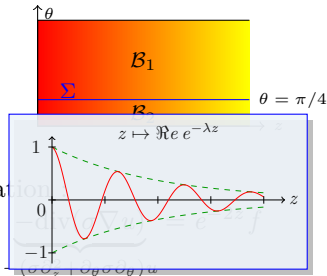
- **Singularités** dans le secteur
- $s(r, \theta) = r^\lambda \varphi(\theta)$

$$s \in H^1(\Omega)$$

- Demi bande  $\mathcal{B}$

$(z, \theta) = (-\ln r, \theta)$

$(r, \theta) = (e^{-z}, \theta)$



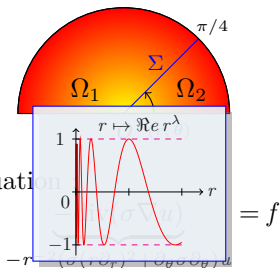
- **Modes** dans la bande
- $m(z, \theta) = e^{-\lambda z} \varphi(\theta)$

$$m \text{ évanescent}$$

$$\Re \lambda > 0$$

# Analogie avec un problème de guide d'ondes

- Secteur borné  $\Omega$



- Équation  $\Delta u = f$

- Singularités** dans le secteur

$$s(r, \theta) = r^\lambda \varphi(\theta)$$

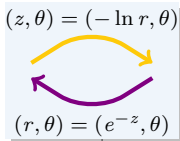
$$= \cancel{r^a} (\cos b \ln r + i \sin b \ln r) \varphi(\theta)$$

$(\Re e \lambda = a, \Im m \lambda = b)$

$$s \in H^1(\Omega)$$

$$s \notin H^1(\Omega)$$

- Demi bande  $\mathcal{B}$



- Équation  $\Delta u = f$

- Modes** dans la bande

$$m(z, \theta) = e^{-\lambda z} \varphi(\theta)$$

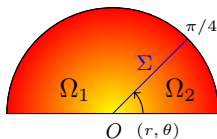
$$= \cancel{e^{-az}} (\cos bz - i \sin bz) \varphi(\theta)$$

$$m \text{ évanescant}$$

$$m \text{ propagatif}$$

# Analogie avec un problème de guide d'ondes

- Secteur borné  $\Omega$



- Équation :

$$\underbrace{-\operatorname{div}(\sigma \nabla u)}_{-r^{-2}(\sigma(r\partial_r)^2 + \partial_\theta \sigma \partial_\theta)u} = f$$

- Singularités** dans le secteur

$$s(r, \theta) = r^\lambda \varphi(\theta)$$

$$= \cancel{r^a} (\cos b \ln r + i \sin b \ln r) \varphi(\theta)$$

$(\Re \lambda = a, \Im \lambda = b)$

$$s \in H^1(\Omega)$$

$$s \notin H^1(\Omega)$$

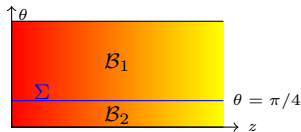
$$\Re \lambda_i > 0$$

$$\Re \lambda_i = 0$$

- Demi bande  $\mathcal{B}$

$$(z, \theta) = (-\ln r, \theta)$$

$$(r, \theta) = (e^{-z}, \theta)$$



- Équation :

$$\underbrace{-\operatorname{div}(\sigma \nabla u)}_{-(\sigma \partial_z^2 + \partial_\theta \sigma \partial_\theta)u} = e^{-2z} f$$

- Modes** dans la bande

$$m(z, \theta) = e^{-\lambda z} \varphi(\theta)$$

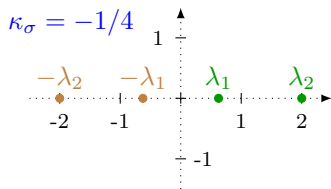
$$= \cancel{e^{-az}} (\cos bz - i \sin bz) \varphi(\theta)$$

$$m \text{ évanescent}$$

$$m \text{ propagatif}$$

► Ceci nous encourage à utiliser la **décomposition modale** dans la bande. 26 / 36

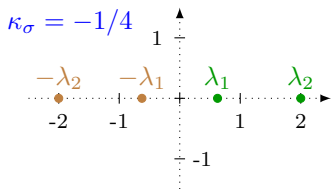
# Analyse modale pour le guide d'ondes



► En dehors de l'intervalle critique. Tous les modes sont exponentiellement croissants ou décroissants.

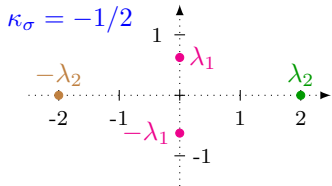
→ On cherche une solution exponentiellement décroissante. Cadre  $H^1$

# Analyse modale pour le guide d'ondes



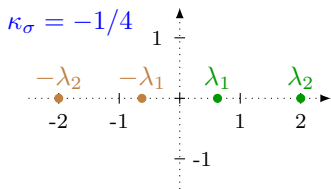
► En dehors de l'intervalle critique. Tous les modes sont exponentiellement croissants ou décroissants.

→ On cherche une solution exponentiellement décroissante. Cadre  $H^1$



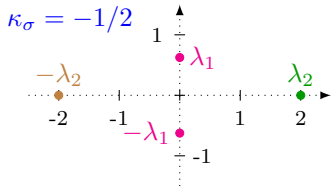
► Dans l'intervalle critique. Il y a exactement deux modes propagatifs.

# Analyse modale pour le guide d'ondes



► En dehors de l'intervalle critique. Tous les modes sont exponentiellement croissants ou décroissants.

→ On cherche une solution exponentiellement décroissante. Cadre  $H^1$



► Dans l'intervalle critique. Il y a exactement deux modes propagatifs.

→ La décomposition sur les modes sortants conduit à chercher une solution de la forme

$$u = \underbrace{c\varphi_1 e^{\lambda_1 z}}_{\text{propagatif}} + \underbrace{u_e}_{\text{partie évanescente}}$$

Cadre non  $H^1$

## Dans l'intervalle critique : message 2

---



Il existe un **cadre fonctionnel**, différent de  $H_0^1(\Omega)$ , prenant en compte une **singularité**, dans lequel il y a **existence** et **unicité** de la solution.

Comment **approcher numériquement** la solution  
dans ce **nouveau cadre** ?

# Approximation naïve

---

- Essayons une méthode **éléments finis classique** (élément de Lagrange P1). Nous calculons la solution du problème

$$\left| \begin{array}{l} \text{Trouver } u_h \in V_h \text{ t.q. :} \\ \int_{\Omega} \sigma \nabla u_h \cdot \nabla v_h = \int_{\Omega} f v_h, \quad \forall v \in V_h, \end{array} \right.$$

où  $V_h$  approche  $H_0^1(\Omega)$  lorsque  $h \rightarrow 0$  ( $h$  est le **pas de maillage**).

# Approximation naïve

---

- ▶ Essayons une méthode **éléments finis classique** (élément de Lagrange P1). Nous calculons la solution du problème

$$\left| \begin{array}{l} \text{Trouver } u_h \in V_h \text{ t.q. :} \\ \int_{\Omega} \sigma \nabla u_h \cdot \nabla v_h = \int_{\Omega} f v_h, \quad \forall v \in V_h, \end{array} \right.$$

où  $V_h$  approche  $H_0^1(\Omega)$  lorsque  $h \rightarrow 0$  ( $h$  est le **pas de maillage**).

- ▶ Nous affichons  $u_h$  lorsque  $h \rightarrow 0$ .

# Approximation naïve

- ▶ Essayons une méthode **éléments finis classique** (élément de Lagrange P1). Nous calculons la solution du problème

Trouver  $u_h \in V_h$  tel que

$$\int_{\Omega} \sigma \nabla u_h \cdot \nabla v_h = \int_{\Omega} f v_h, \quad \forall v \in V_h,$$

**LA SUITE  $(u_h)$  NE CONVERGE PAS LORSQUE  $h \rightarrow 0!!!$**

où  $V_h$  approche  $H_0^1(\Omega)$  lorsque  $h \rightarrow 0$  ( $h$  est le **pas de maillage**).

- ▶ Nous affichons  $u_h$  lorsque  $h \rightarrow 0$ .

(...)

(...)

Contraste  $\kappa_\sigma = -0.999 \in (-1; -1/3)$ .

## Remarque

---

► En dehors de l'intervalle critique, pour la méthode d'approximation classique, la suite  $(u_h)$  converge.

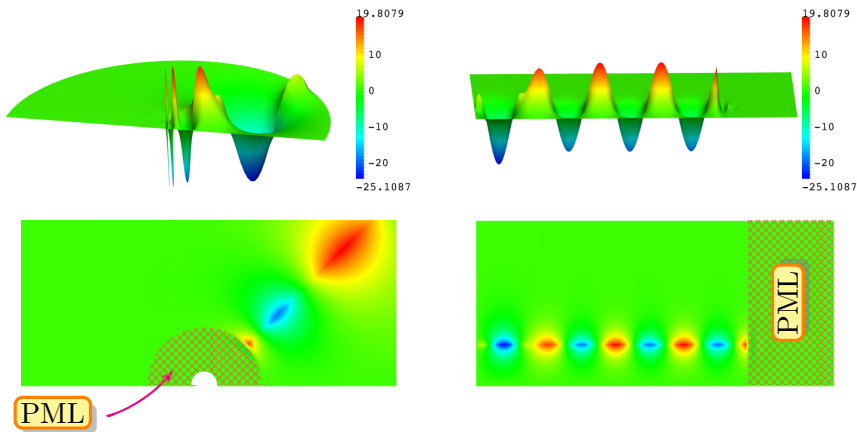
(...)

(...)

Contraste  $\kappa_\sigma = -1.001 \notin (-1; -1/3)$ .

# Comment approcher la solution ?

- Nous utilisons une **couche parfaitement adaptée** (PML en anglais, pour *Perfectly Matched Layer*) pour borner le domaine  $\mathcal{B}$ .  
+ **Éléments finis** dans la bande tronquée ( $\kappa_\sigma = -0.999 \in (-1; -1/3)$ ).



# Un curieux phénomène de **trou noir**

---

- ▶ Pour l'équation de **Helmholtz**  $\operatorname{div}(\sigma \nabla u) + \omega^2 u = f$ , de la même façon, il faut **modifier le cadre fonctionnel** pour avoir un problème **bien posé**.
- ▶ Lorsqu'on revient en **régime temporel**, la solution considérée présente un étrange comportement d'**onde de trou noir**.

$$(\mathbf{x}, t) \mapsto \Re e(u(\mathbf{x})e^{-i\omega t}) \quad \text{for } \kappa_\sigma = -1/1.3$$

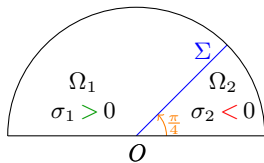
- ▶ Tout se passe comme si une onde était **absorbée** par le coin.

# Conclusion : résumé des résultats

---

Problème

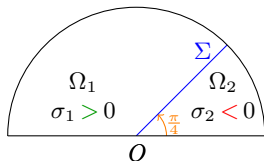
( $\mathcal{P}$ ) | Trouver  $u \in H_0^1(\Omega)$  t.q. :  
 $-\operatorname{div}(\sigma \nabla u) = f$  dans  $\Omega$ .



# Conclusion : résumé des résultats

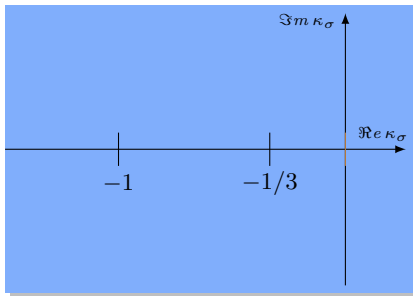
Problème

( $\mathcal{P}$ ) | Trouver  $u \in H_0^1(\Omega)$  t.q. :  
 $-\operatorname{div}(\sigma \nabla u) = f$  dans  $\Omega$ .



Résultats

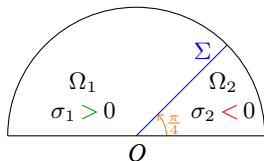
■ Pour  $\kappa_\sigma \in \mathbb{C} \setminus \mathbb{R}_-$ , ( $\mathcal{P}$ ) bien-posé dans  $H_0^1(\Omega)$  (Lax-Milgram)



# Conclusion : résumé des résultats

## Problème

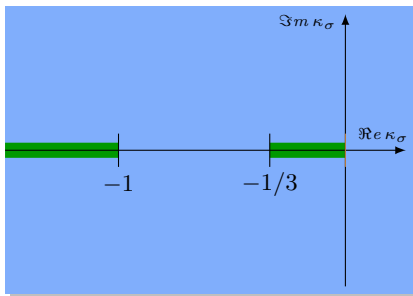
( $\mathcal{P}$ ) | Trouver  $u \in H_0^1(\Omega)$  t.q. :  
 $-\operatorname{div}(\sigma \nabla u) = f$  dans  $\Omega$ .



## Résultats

■ Pour  $\kappa_\sigma \in \mathbb{C} \setminus \mathbb{R}_-$ , ( $\mathcal{P}$ ) bien-posé dans  $H_0^1(\Omega)$  (**Lax-Milgram**)

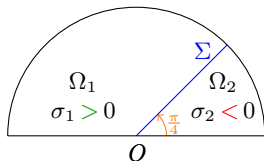
■ Pour  $\kappa_\sigma \in \mathbb{R}_* \setminus [-1; -1/3]$ , ( $\mathcal{P}$ ) bien-posé dans  $H_0^1(\Omega)$  (**T-coercivité**)



# Conclusion : résumé des résultats

## Problème

( $\mathcal{P}$ ) | Trouver  $u \in H_0^1(\Omega)$  t.q. :  
 $-\operatorname{div}(\sigma \nabla u) = f$  dans  $\Omega$ .

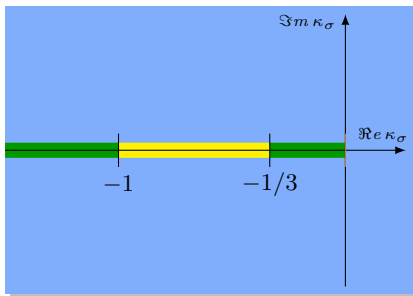


## Résultats

■ Pour  $\kappa_\sigma \in \mathbb{C} \setminus \mathbb{R}_-$ , ( $\mathcal{P}$ ) bien-posé dans  $H_0^1(\Omega)$  (**Lax-Milgram**)

■ Pour  $\kappa_\sigma \in \mathbb{R}_+^* \setminus [-1; -1/3]$ , ( $\mathcal{P}$ ) bien-posé dans  $H_0^1(\Omega)$  (**T-coercivité**)

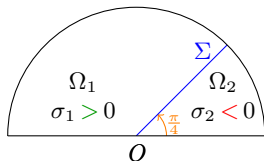
■ Pour  $\kappa_\sigma \in (-1; -1/3)$ , ( $\mathcal{P}$ ) pas bien-posé au sens de Fredholm dans  $H_0^1(\Omega)$  mais bien-posé dans **nouveau cadre** (PMLs)



# Conclusion : résumé des résultats

## Problème

( $\mathcal{P}$ ) | Trouver  $u \in H_0^1(\Omega)$  t.q. :  
 $-\operatorname{div}(\sigma \nabla u) = f$  dans  $\Omega$ .



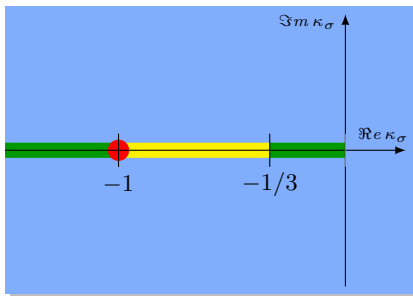
## Résultats

■ Pour  $\kappa_\sigma \in \mathbb{C} \setminus \mathbb{R}_-$ , ( $\mathcal{P}$ ) bien-posé dans  $H_0^1(\Omega)$  (**Lax-Milgram**)

■ Pour  $\kappa_\sigma \in \mathbb{R}_+^* \setminus [-1; -1/3]$ , ( $\mathcal{P}$ ) bien-posé dans  $H_0^1(\Omega)$  (**T-coercivité**)

■ Pour  $\kappa_\sigma \in (-1; -1/3)$ , ( $\mathcal{P}$ ) pas bien posé au sens de Fredholm dans  $H_0^1(\Omega)$  mais bien-posé dans **nouveau cadre** (PMLs)

●  $\kappa_\sigma = -1$ , ( $\mathcal{P}$ ) mal-posé dans  $H_0^1(\Omega)$



- ① Séance 1 : contexte physique
- ② Séance 2 : la méthode de la T-coercivité
  - Principe
  - Géométries élémentaires
  - T-coercivité et problèmes bien posés
- ③ Séance 3 : géométrie générale, étude dans l'intervalle
  - Géométrie générale
  - Étude dans l'intervalle
- ④ Au programme la semaine prochaine

# Au programme la semaine prochaine

---

Discrétisation par **éléments finis** du problème ( $\mathcal{P}$ ).